

## 騒音予測のための非定常交通流(信号地点)調査結果

### —道路騒音予測手法の研究 第三報—

高山 孝 小林 正雄 末岡伸一

#### 1はじめに

市街地道路における交通騒音予測手法の実用化をはかるため、昭和56年度より道路交通騒音予測手法の検討を行っている。55、56年度は定常交通流について実態を調査し、予測についての事前検討を行ったが、この結果については1982年及び1983年の当所年報に報告している。57、58年度では非定常交通流についての実態の解析と予測についての検討を計画している。本報告(第3報)は57年度に実施した信号箇所における車の流れと騒音の実態についての調査結果をまとめたものであるが、人員機材の制約から細部にわたる調査解析は無理であったが、その概要は把握できたと考えている。

なお、58年度は交差点における交通流と騒音の関係を調査する予定であり、この二年度にわたる調査から非定常交通流騒音の予測方法についてまとめを行う所存である。

#### 2調査方法

まず、ここでいう定常交通流(以下定常流といふ)とは、市街地道路を通行する車が、信号機等の拘束を受けないで自由に走行している状態をいい、非定常交通流(以下非定常流といふ)とは信号機の拘束を受けて加速、減速、停止等、スムーズでない流れの状態にあるものを指している。

##### (1) 調査項目

沿道における非定常流騒音の予測に必要なデータとしては、定常流で採りあげた項目の外に加速及び減速時の騒音状況と、停止時におけるアイドリングの騒音等があげられる。特にデータとして欲しいものは、車種別加速パワーレベルの統計分布、停車時における車種別アイドリング音のパワーレベルの統計分布等であるが、これは実態調査から得ることは困難である。

そこで、非定常流の予測では、定常流の実態比較から騒音影響の主要な相違点を見出し、この点について検討を進めることができると考えられるので、同じ交通条件下で実態比較の行える場所として、信号箇所を選定したわけである。従って今回は、次のような調査項目をあげてみた。

- ① 停止時における車線別車種別停止台数。
- ② 停止時における道路からの距離別(10m, 20m, 40m)騒音レベル。
- ③ 停止時間(赤信号時間×回数)
- ④ 加速時(青信号点灯から15秒間)における車線別車種別交通量。
- ⑤ 加速時における道路からの距離別騒音レベル。
- ⑥ 加速時間(15秒×回数)。
- ⑦ 定常流時(青、点灯から15秒経過後の時間)における車線別車種別交通量。
- ⑧ 定常流時における道路からの距離別騒音レベル。
- ⑨ 定常流時間(定常流時×回数)。
- ⑩ 定常流時における車頭間隔の統計分布。
- ⑪ 定常流時における大型車のパワーレベルの統計分布。

##### (2) 測定地点

測定地点は四車線幹線道路を主な対象とし、信号箇所上流と下流は、できるだけ定常走行部分が長く、しかも基礎データとするため、道路両側が平坦開放地となつていなければならない。また車の流れがスムーズで渋滞がなく、赤信号時には、ある程度の停車台数が必要である。このような信号地点選定は難しく、大部分は表1にみられるように郊外の幹線道路となり、しかも通学路等車の通行の極く少ない細かい道路の合流点を選定せねばならなかった。

##### (3) 交通流調査方法

測定データが多いので前年度同様に、電算処理を行

表1 信号箇所(4車線道路)測定点

データNo	道路名	場所	測定日
101 102	国道16号	相模原市清新3 (外回り)	57.11.19
201 202	日光街道	草加市谷塚 (下り)	57.11.24
301 302	所沢一 浦和線	富士見市 (内回り)	57.11.25
401 402	環7	足立区島根1 (内回り)	57.12.3
501 502	国17号	北本市中丸 (上り)	57.12.7
601 602	新青海街道	青海省新町 (下り)	57.12.8
701 702	立川バイパス	昭島市中神町 (上り)	58.1.11
801 802	尾久橋一 舎入道路	足立区谷在家 (下り)	58.1.13
901 902	都道	羽村町神明台 (上り)	58.2.8
1001 1002	新環7	江戸川区東小松川5 (外回り)	58.2.15

うこととし、通過車等のデータは信号化してデータレコーダーに収録し、直接コンピュータ入力装置へ入力できるようにした。図1は測定方法を示す。まず、青信号の場合の測定では、上り車線の停止ラインと下り車線の停止ラインのほぼ中間に、車線に直交するラインを設け、このラインを車頭が通過する瞬間に車線別の交通流観測者は、車種を選定(二車種分類)してスイッチボタンを押す。また信号観測者は、信号が青、黄、赤点灯毎に類別されたスイッチボタンを押す。これらスイッチボタンの信号をパルス回路に送り、整形パルス化して種類別に電圧を変えて多チャンネルデータレコーダへ送り収録する。これと同時に、道路の手前第1車線と第2車線の分離帯から垂直方向に距離別に3地点の騒音レベルを継続して上記データレコーダに収録する。

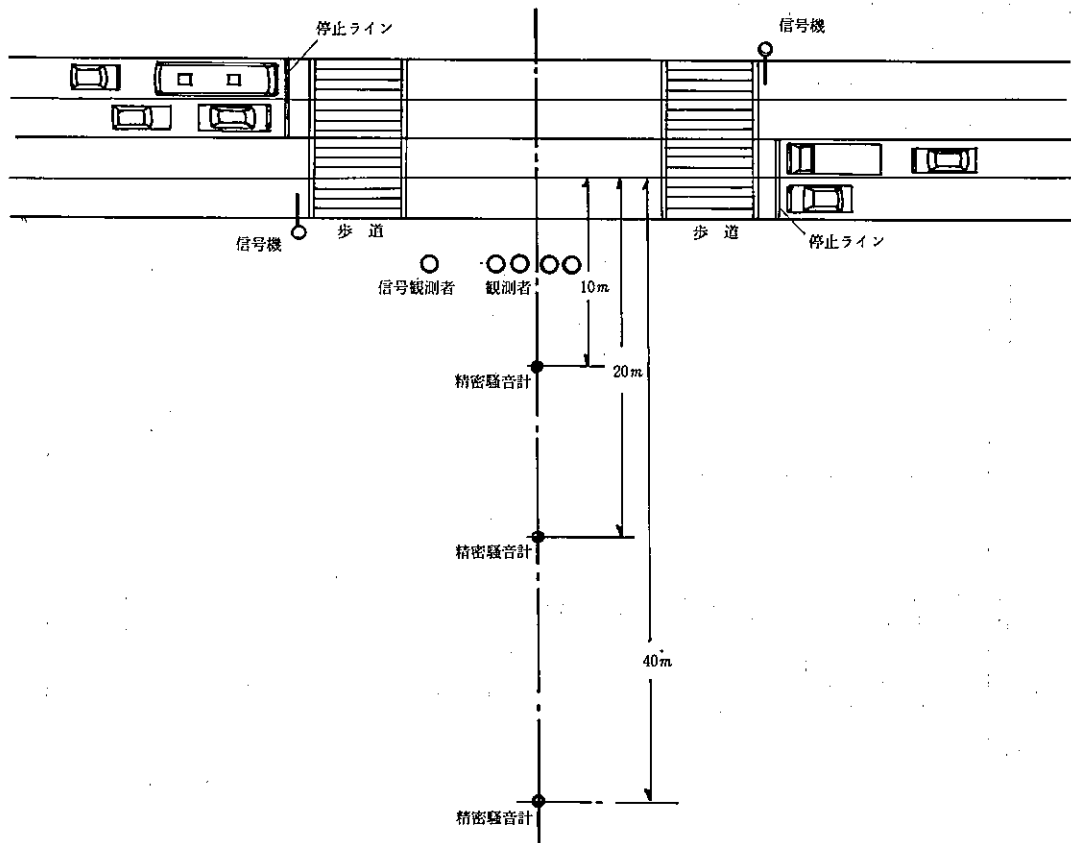


図1 測定方法 (配置図)

赤信号の場合は、観測者は停止ラインから停車していく車を車種分類してスイッチボタンを押すのである。

再生した信号は図2の如くコンピュータ入出力装置(PIO)へ接続するが、PIOでの信号ピックアップ方法は前回同様に、サンプリングタイムを100 msとし、1パルスを2回ピックアップした場合は最初のものを採るようにプログラミングした。今回は、青、黄、赤の信号が付加され、青の場合と、赤の場合では車線のパルスの性質が変わる点で前回までの方法との相違がある。

また測定項目が多いため青信号時の正確な統計量を得る車速測定はできなかった。

車の流れは前回と同様上流信号の強い影響を受け一群毎に流れしており、この中の車速は大部分が40km/H～50km/Hの範囲にあるようである。

これらのことから主な測定項目の処理は次のように行う。

- ① 定常流の交通量と車種混合比については、定常時における発生パルスの識別と積算を行い算出する。
- ② 加速時(非定常流)の交通量と車種混合比については、加速時における発生パルスの識別と積算を行い算出する。

③ 停止時(非定常流)の台数と車種混合比についても上記と同様に算出する。

④ 定常流(青)、非定常流(青の15秒、赤)時の距離別の $L_{50}$ 、 $L_{eq}$ 、 $L_{10}$ は各信号時間内を累積し算出する。

⑤ 定常流の車頭間隔分布は定常流時における前方車のパルスと対象車のパルスの時間間隔と車速45km/Hから算出する。

⑥ 定常流の大型車のパワーレベルは手前車線を通過する大型車を対象とし、対象車の騒音レベルに寄与しない場合(10dB以下)に限り抽出し、発生パルス直後の騒音レベルより算出する。

#### (4) 測定時間

測定時間は10時～15時の範囲で実施した。1回の測定時間はコンピュータディスクの容量に限定されるため20分間(実際のデータ採取時間は1,180秒)と定め、1地点における測定回数は交通流の良好な状況を選んで2回行った。次に定常流と非定常流の比較を試みるために測定時間内の信号の変化に伴う交通流を、3パターン(交通状態)に区分し、区分毎の時間集計を行った。

信号箇所における非定常流で最も騒音レベルの高い

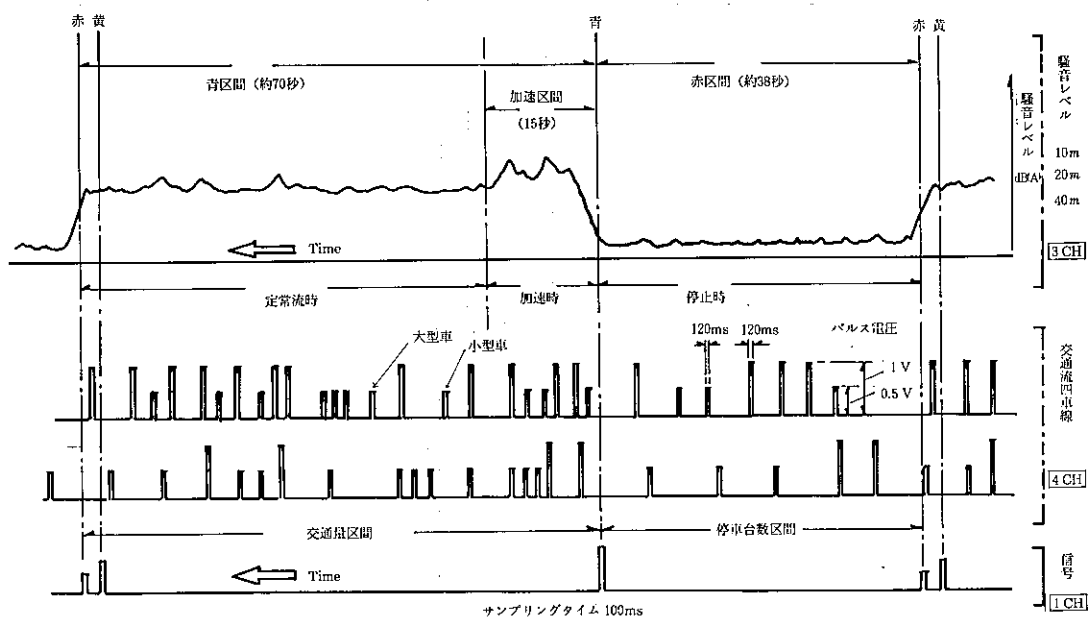


図2 PIOサンプリング時の概要図







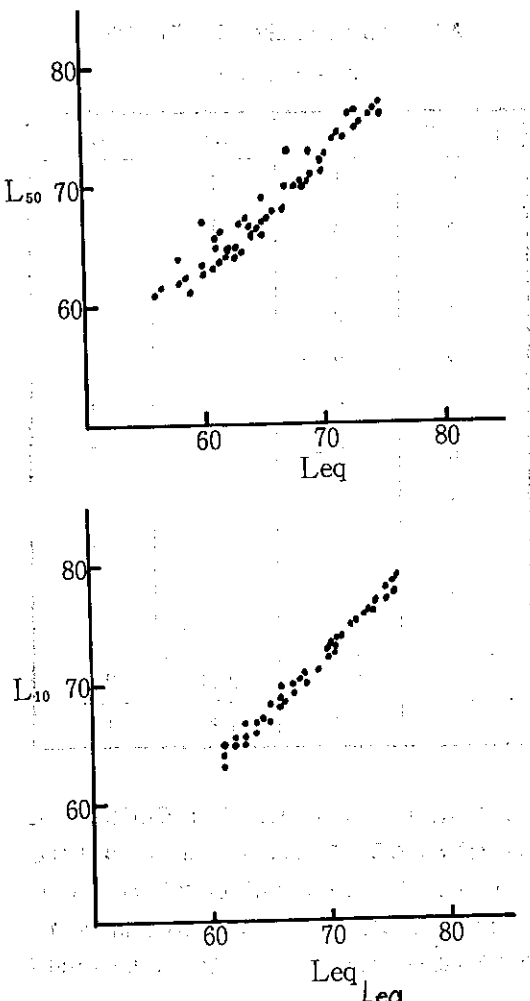


図3 定常走行における $Leq$ と  
 $L_{50}$ ,  $Leq$ と $L_{10}$ の関係

の相関をみたものである。定常流時と同様その相関は良く定常流時、非定常流時の両者を比較してみてもその相関関係に相違はみられない。特に $Leq$ と $L_{10}$ の関係は、第1報、第2報と今回の第3報の結果をみてても非常に良い相関を示している。このことは、 $Leq$ 評価はピークに近い騒音レベルに重点を置いた評価に適していることを示しているといえよう。

次に各信号箇所の10m, 20m, 40m地点における騒音の距離減衰についてみたものが図5である。図は対象道路以外の騒音影響が少ないピーク瞬時値を集め、それぞれの平均値の騒音レベルにより減衰を示したものである。傾向として40m程度では倍距離6dBの点

音源減衰となっている。しかし20m以上の数地点で傾斜が緩くなっている、これは40m地点での暗騒音の影響を受けたものと推測する。なお前回は $L_{50}$ についての減衰傾向を示したので今回も $L_{50}$ 、及び $Leq$ ,  $L_{10}$ について減衰傾向を調べてみたが、結果はいづれも倍距離6dBの点音減衰傾向にあり、支配的な大型車の騒音影響を受けていて、線音源の減衰傾向はみられなかった。

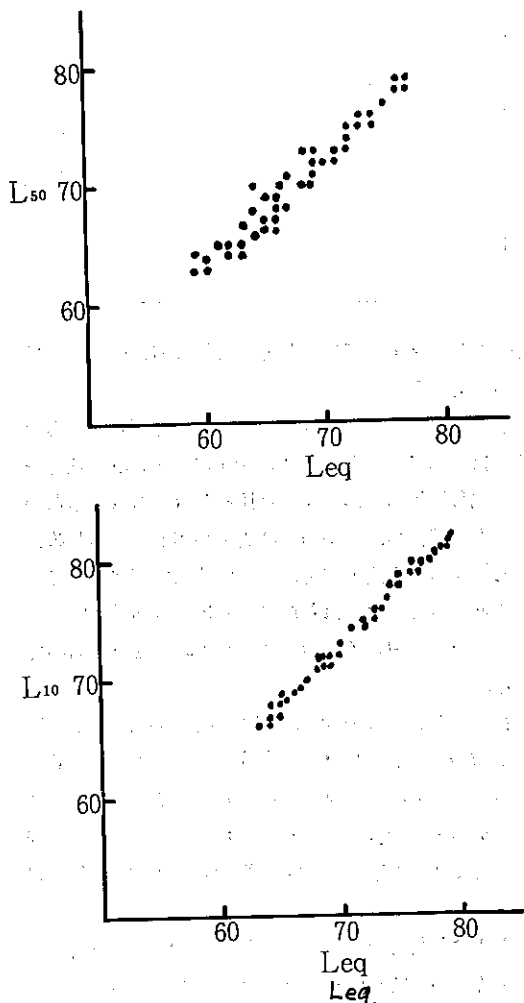


図4 加速走行における $Leq$ と  
 $L_{50}$ ,  $Leq$ と $L_{10}$ の関係

### (3) 停止時における停車台数と騒音( $L_{50}$ )の関係

信号が赤となり上下の方向の停止線から車が順々に並んで停車していく。実態調査では騒音レベルの低い

アイドリング時の車種毎のパワーレベルを測定することは不可能である。しかしパワーレベルの低い車でも台数が集まれば騒音レベルは高くなると考えられるので、停車台数の増加が、騒音レベルにどのように影響しているかをみたものが図6である。図の横軸は時間当りの停車台数をNでみた場合に整理し、これを対数で示したものである。図の黒印は車種区別のない停車台数と騒音の関係を示し、○印は大型車台数NLを小型車台数Nsの10倍とみた等価台数と仮定した騒音の関係を示す。

図から黒印では、停車台数が増加すると沿道の騒音も増加傾向にあるがバラツキも大きい。一方大型車の影響を重点にみた○印でも、大型車が増加すれば騒音も増加する。しかしふらツキがあり明確な関係は掴みにくい。この原因として、停車時は比較的騒音レベルが低いので暗騒音の影響を受け易いこと。停止ラインには始めから多くの停車台数がつながるのではなく順々に停車していくこと。減速時の騒音が加わること等、単純な関係ではないことに起因しているようである。また停車時と定常時の騒音の関係をみても、加速時と定常流時のような有意な関係はみられず、上記の

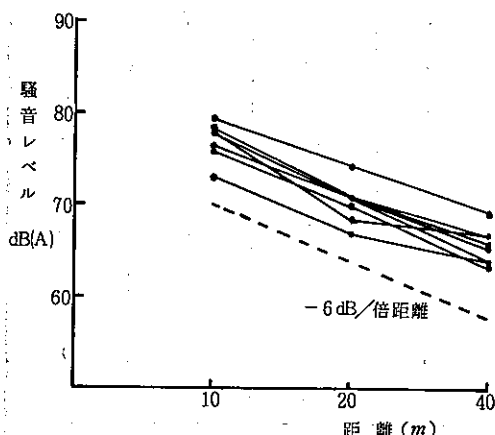


図5 ピーク付近瞬時値の距離減衰

多くの原因によって停止時の状況を不明確にしているものと思われる。

#### (4) 音響学会式と実測値との比較

市街地道路への音響学会式の適合性を検討するた

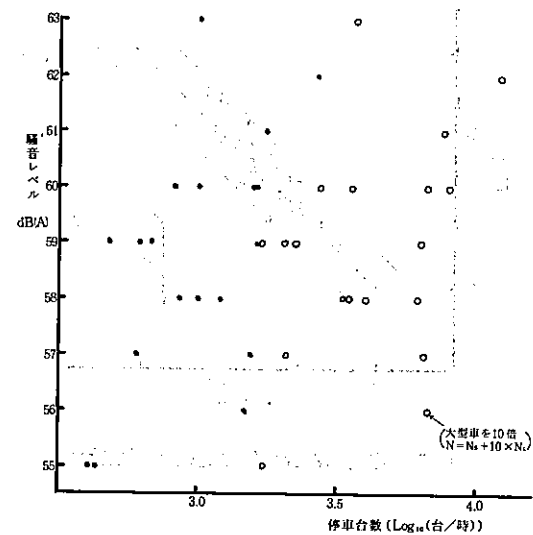


図6 停車台数と騒音 ( $L_{50}$ )

め、今回は定常流時、加速時、全体時（定常流、加速、停止）の3ケースについて計算値と実測値の比較を行った。

まず定常流時であるが、前回と同様に測定データを車線別に交通量、車種混合比、平均車頭間隔に整理し、 $\alpha_i$ 等も同様な方法を探り計算を行った。なお信号箇所であっても自動車走行がスムーズな場所で開放平坦地を選定しているので問題はないものと考えている。

図7は実測値と計算値の関係を示す。この結果をみると前報と同様に、近地点で実測値が高めに遠地点で実測値が低めとなっており20m地点で両者の一致が良い。

実測値と計算値の差は、±2 dB以内に入るものが全体の58%，±5 dB以内が100%となっていて学会式の適合性は良好と思われる。この式に若干の補正を加えれば予測の精度は更に向上的るものと考えている。

次に加速時の場合であるが、まず20分間の計測中から加速走行部分を集め、1時間当たりの交通量、車種混合比等学会式にあてはめられる条件に整理し、計算を行った。

$\alpha_i$ 等の条件は定常流の場合と同様である。

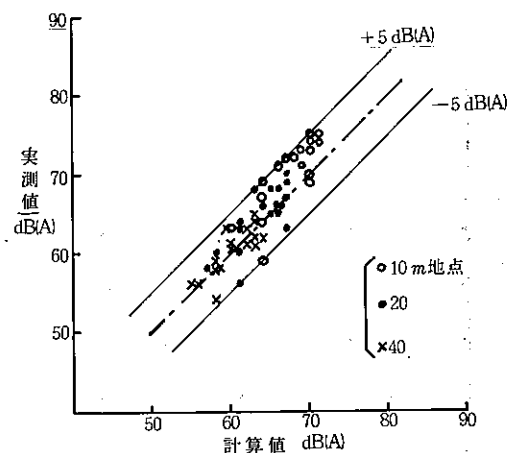


図 7 実測値と計算値の比較(定常走行)

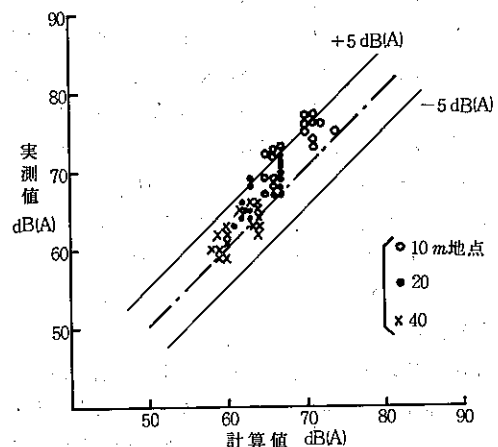


図 8 実測値と計算値の比較(加速走行)

図 8 は加速時における実測値と計算値の関係を示す。結果をみると定常流時と異なりすべての地点で実測値が高めとなっている。距離別に傾向をみた場合は、40m 地点の一一致が良い。

表 5 は各ケースの実測値と計算値の差の頻度を示した表であるが、加速時の場合は定常流時の場合と比較し差の平均値、 $\mu = +2.9 \text{ dB(A)}$   $\sigma = 2.1$  であり、明らかに加速時の騒音は高い。

図 9 は信号箇所非定常流(全体時)についての実測値と計算値の比較である。計算値は加速時の場合と同様に換算手続きを行って算出している。結果は上述の二者よりも適合度がよく実測値と計算のレベル差は、 $\pm 2 \text{ dB(A)}$  以内に入るものが全体の 70% あり、 $\pm 5 \text{ dB(A)}$  以内では 100% となっている。特に遠地点ほど適合度がよく 40m 地点では、 $\pm 2 \text{ dB(A)}$  以内に入るものの 100% となっている。このことは今回の実態でみると、音響学会式は信号箇所においても定常交通部分と変りなく適合していることがわかった。

表 5 差(実測値-計算値)の分布

差	定常走行	加速走行	全 体
7 dB(A)		2	
6		8	
5	5	5	3
4	8	7	3
3	9	9	10
2	7	15	6
1	12	7	14
0	8	3	8
-1	5	3	6
-2	3	1	4
-3	1		
-4			
-5	2		
平均	1.43	2.90	1.28
標準偏差	2.33	2.13	1.85

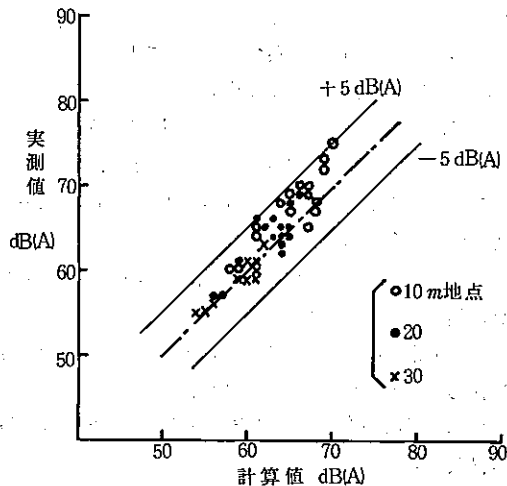


図9 実測値と計算値(全体)

## (5) 車頭間隔と大型車のパワーレベルについて

前述の如く信号箇所の定常流時は前報の定常交通流実態と同様な傾向にあり一致も良いので、定常流時における車頭間隔及び大型車パワーレベルについて算出を行ってみた。まず車頭間隔は図2にみられるように、前方車（先行パルス）と対象車（対象パルス）の時間間隔と、実態調査から推察された平均車速45km/Hから算出した。算出した多量のデータの全数をまず50mステップの頻度数に分類し、100分率として示したものが図10である。この結果をみると100m以下のものが80%以上を占めていて前報同様指分布となっている。

図11は100m以下のものについて5mステップの頻度で分類し100分率で示したものである。この結果では最頻車頭間隔は21~25mであり、前報の結果と同じ傾向がみられた。この曲線に近似する対数正規分布曲線をあてはめてみると、前報とほぼ等しい次式の対数正規分布密度函数  $g(x)$  が得られた。

$$g(x) = \frac{1}{\sqrt{2\pi}\sigma} \cdot \frac{1}{x} \cdot \exp\left\{-\frac{(\ln x - \mu)^2}{2\sigma^2}\right\} \times 4.08$$

ただし、 $\mu = 3.48$

$$\sigma = 0.51$$

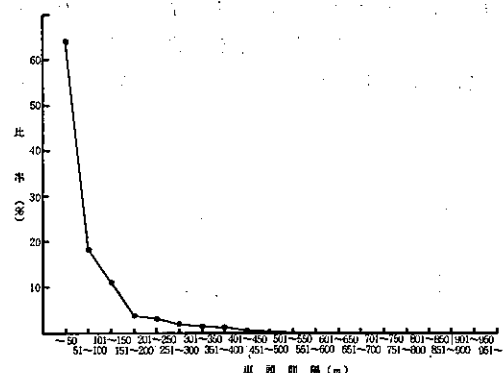


図10 車頭間隔の分布

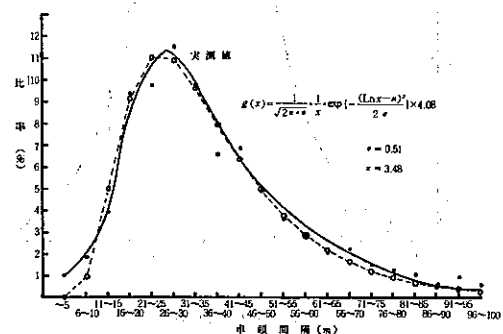


図11 車頭間隔の分布

次に大型車のパワーレベル（車を点音源とみなして一定距離より求めた、いわゆるみかけのパワーレベルをいう）は前報同様、道路の手前第1車線を通過する大型車のパワーレベルを集めてみたものである。対象車が測点正面を通過する前後3秒間はすべての車線に大型車が存在しない場合のみのレベルを抽出した結果、車数は709台が集められた。ただし車速は平均車速45km/Hを60km/Hに換算してパワーレベルを求めている。図12にその分布を示す。結果は正規分布に近く、パワーレベルの平均値  $\mu = 106.3$  dB(A)、標準偏差  $\sigma = 3.61$  dB(A)となった。

ここでも前報同様の結果が得られたが、文献によるパワーレベルの  $\mu$  値と比較して2.5dB程度低くなってしまっており標準偏差についてもやや大きめとなっている。今回の調査では正確な速度計速は不可能であったが、第1報及び第2報の結果とほぼ同じような結果となしたことから、市街道路での大型車のパワーレベルはこの辺ではなかろうかと考えている。また第1報で市街



たこと、シミュレーションの試行を実施する場合のよい対象実態となった点にある。次年度は非定常交通流のまとめとして交差点の実態について調査をする所存である。

### 参 考 文 献

1) 渡辺好章ほか：自動車走行時における騒音のパワ

ーレベル、音響学会誌 No 3, (1976).

2) 小林正雄ほか：騒音予測のための二車線定常交通

流調査結果、当所年報(1982).

3) 高山孝ほか：騒音予測のための多車線定常交通流

調査結果、当所年報(1983).